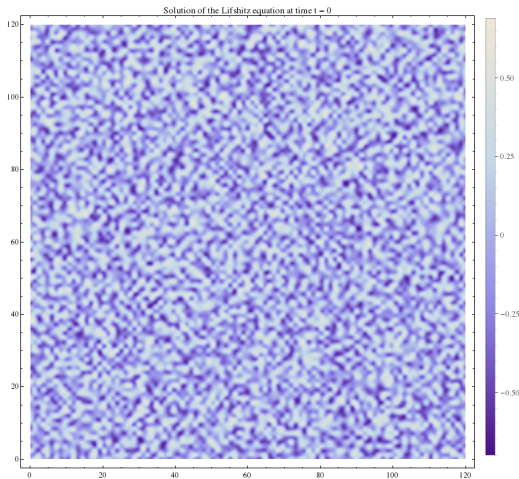


# Étude du point de Lifshitz par le groupe de renormalisation.

Nicolas Macé

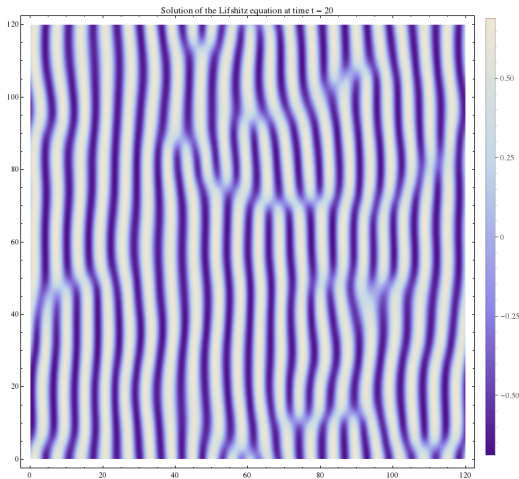
**Responsable de stage** : Dominique Mouhanna

Stage du 13 janvier au 7 mars 2014 au  
Laboratoire de physique théorique de la matière condensée  
(LPTMC)  
UMPC

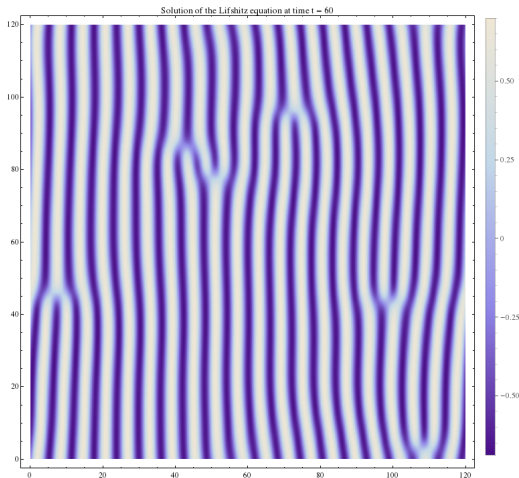


Modèle de Lifshitz : champ  $\phi(x)$  à  $n$  composantes, anisotrope.

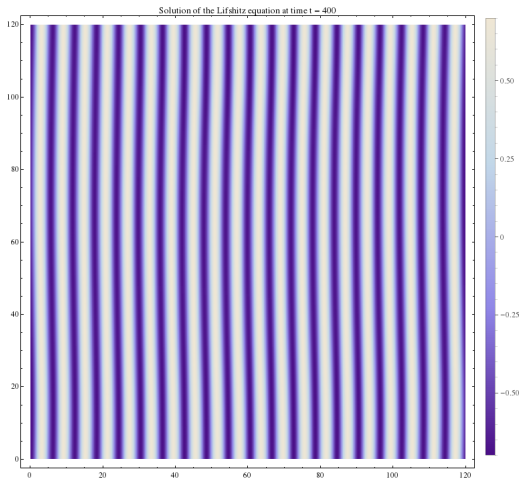
Phase de Lifshitz :  $\phi(x)$  périodique dans  $m$  directions de l'espace de dimension  $d$ .



Modèle de Lifshitz : champ  $\phi(x)$  à  $n$  composantes, anisotrope.  
 Phase de Lifshitz :  $\phi(x)$  périodique dans  $m$  directions de l'espace de dimension  $d$ .



Modèle de Lifshitz : champ  $\phi(x)$  à  $n$  composantes, anisotrope.  
 Phase de Lifshitz :  $\phi(x)$  périodique dans  $m$  directions de l'espace de dimension  $d$ .



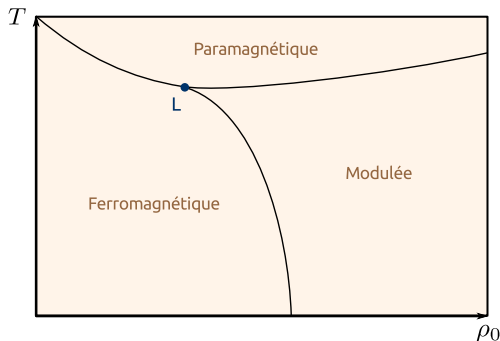
Modèle de Lifshitz : champ  $\phi(x)$  à  $n$  composantes, anisotrope.  
 Phase de Lifshitz :  $\phi(x)$  périodique dans  $m$  directions de l'espace de dimension  $d$ .

### Intérêt expérimental

Description de nombreux systèmes : cristaux magnétiques, ferroélectriques, mélanges binaires...

### Intérêt théorique

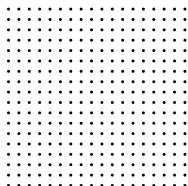
Un exemple de système anisotrope "fort" : les exposants critiques dépendent de la direction.



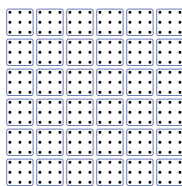
## Hamiltonien de Lifshitz

$$H[\phi] = \int_x \frac{1}{2} (\partial_{\perp} \phi)^2 + \frac{\rho_0}{2} (\partial_{\parallel} \phi)^2 + \frac{\sigma_0}{2} (\partial_{\parallel}^2 \phi)^2 + U(\rho), \quad \rho \stackrel{\text{def}}{=} \frac{\phi^2}{2}$$

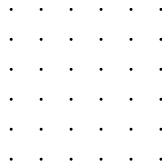
## L'idée de la renormalisation



(a) Réseau initial



(b) Blocs de spin



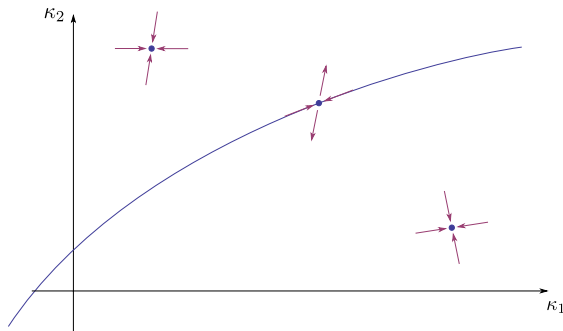
(c) Moyennage



(d) Rescaling

$$H[\phi(x_i)] \rightarrow \tilde{H}[\tilde{\phi}(x_b)] \rightarrow \left. \begin{array}{l} x' = x/S \\ \phi' = S^\Delta \phi \end{array} \right\} H_S[\phi'(x'_i)]$$

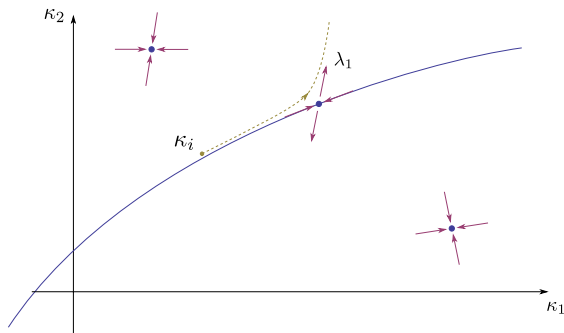




Représentation schématique des flots dans l'espace des couplages.

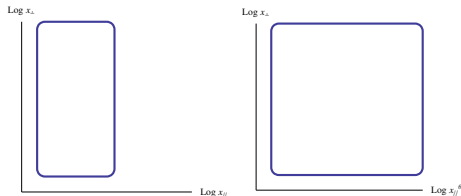
$$H[\phi] = \sum_{i,\alpha} \kappa_\alpha O_\alpha[\phi(x_i), \nabla\phi(x_i), \dots] \rightarrow H_S[\phi'] = \sum_{i',\alpha} \kappa'_\alpha O_\alpha[\phi'(x'_{i'}), \dots]$$

## L'idée de la renormalisation



$$\xi \propto |T - T_c|^{-\nu}$$

## Application au modèle de Lifshitz en champ moyen

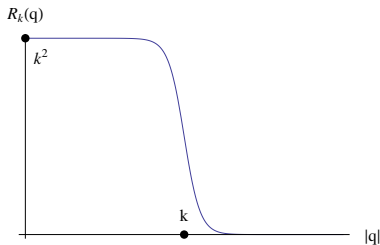


Blocs de spin avant et après introduction de  $\theta$ .

Directions inéquivalentes  $\implies$  échelles inéquivalentes  $S_{//}$ ,  $S_{\perp}$ .  
On introduit  $\theta$  tel que  $S_{//} = S_{\perp}^{\theta}$ .

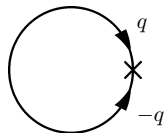
## Résultats du champ moyen

$$\theta_{\text{cm}} = \frac{1}{2}, \quad d_c^> = 4 + \frac{m}{2}$$

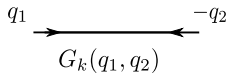


Dépendance en impulsion typique du régulateur  $R_k(q)$ .

$$\partial_t \bar{\Gamma}_k = \frac{1}{2}$$



$$\partial_t \Gamma_k[\phi] = \frac{1}{2} \int_q \partial_t R_k(q) G_k(q, -q)$$



$$G_k(q_1, q_2) = \left( \Gamma_k^{(2)} + R_k \right)_{q_1, q_2}^{-1}$$

$$H[\phi] = \int_x \frac{1}{2}(\partial_{\perp}\phi)^2 + \frac{\rho_0}{2}(\partial_{\parallel}\phi)^2 + \frac{\sigma_0}{2}(\partial_{\parallel}^2\phi)^2 + U(\rho)$$

Symétries  $\implies$  forme générale de l'action effective de Lifshitz :

$$\Gamma_k[\phi] = \int_x U(\rho) + \left(\frac{1}{2}Z_{\perp}(\rho)(\partial_{\perp}\phi)^2 + \frac{1}{4}Y_{\perp}(\rho)(\partial_{\perp}\rho)^2 + \dots\right) + \\ \left(\frac{1}{2}\rho_0(\rho)(\partial_{\parallel}\phi)^2 + \dots\right) + \left(\frac{1}{2}Z_{\parallel}(\rho)(\partial_{\parallel}^2\phi)^2 + \dots\right)$$

Pour calculer les exposants critiques la structure impulsionnelle importe peu  $\rightarrow$  simplifications.

Forme définitive de l'Ansatz :

$$\Gamma_k[\phi_i] = \int_x \frac{Z_{\perp}}{2}(\partial_{\perp}\phi)^2 + \frac{\rho_0}{2}(\partial_{\parallel}\phi)^2 + \frac{Z_{\parallel}}{2}(\partial_{\parallel}^2\phi)^2 + U(\rho).$$

## Équations de flot du modèle

- $$\partial_t u_t(\rho) = -d_m u_t(\rho) + (\theta \eta_{\parallel} + d_m - 4\theta) \rho u'_t(\rho) + 8v_m v_{d-m} (I_0^{dm} (u'_t(\rho) + 2\rho u''_t(\rho)) + (n-1) I_0^{dm} (u'_t(\rho)))$$
- $$\partial_t \rho_0 = -\theta (2 - \eta_{\parallel}) \rho_0 - 64 \frac{v_{d-m} v_m}{m} \rho u^{(2)}(\rho)^2 m_{1,2202}$$
- $$\eta_{\perp} = 32 v_{d-m} v_m \rho u^{(2)}(\rho)^2 m_{1,2202}$$
- $$\eta_{\parallel} = \eta_{\perp} \left[ m_{1,3100} - \frac{1}{2} k_{1,2100} - \frac{2}{m} (6s_{1,4102} - 6v_{1,31002} + w_{1,2102}) + \frac{2}{m(m+2)} (24t_{1,5104} - 36z_{1,4104} + 6u_{1,3104} + 8y_{1,3104} - x_{1,2104}) \right]$$

Approximation du potentiel local :  $\theta \simeq \theta_{\text{cm}} = \frac{1}{2}$ ,  $\eta_{\parallel, \perp} \simeq \eta_{\text{cm}} = 0$ .

Point de Lifshitz décrit par un point fixe  $\rightarrow$  résolution des équations de point fixe

$$0 = u(\rho) - a\rho u'(\rho) + b(\rho_0) \left( \frac{1}{1+\rho_0+u'(\rho)+2\rho u''(\rho)} + \frac{n-1}{1+\rho_0+u'(\rho)} \right)$$

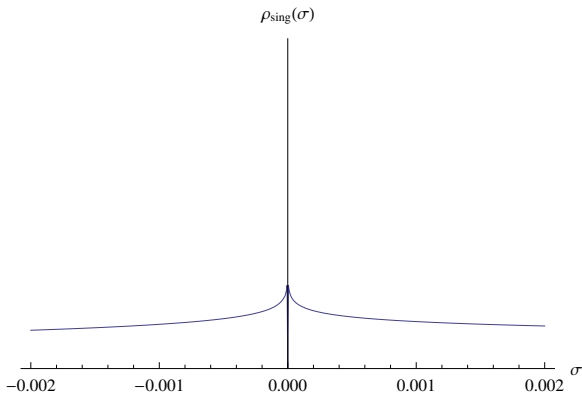
$$u'(0) = \sigma$$

$$u(0) = nb(\rho_0)/(1+\sigma)$$

### Stratégie de résolution

- Commencer à  $d = d_c^>$  ( $\sigma^{\text{Lif}} = 0$ ,  $\rho_0^{\text{Lif}} = 0$ ).
- $d \rightarrow d - \delta d$ .
- Trouver  $\sigma^{\text{Lif}}$ .
- Trouver  $\rho_0^{\text{Lif}}$ .
- Revenir à l'étape (2).

## Les exposants critiques

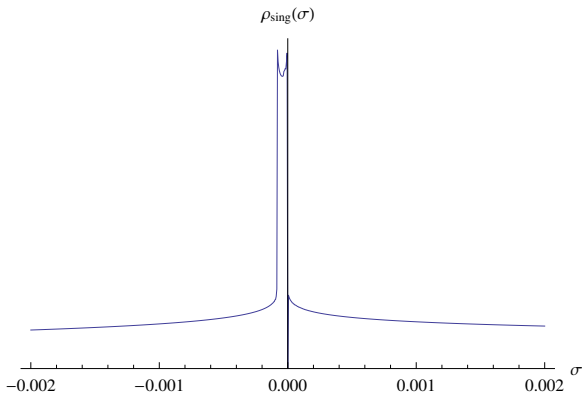


- $d=4.500$

Position de la singularité  $\rho_{\text{sing}}$  en fonction de la condition initiale  $\sigma$ .



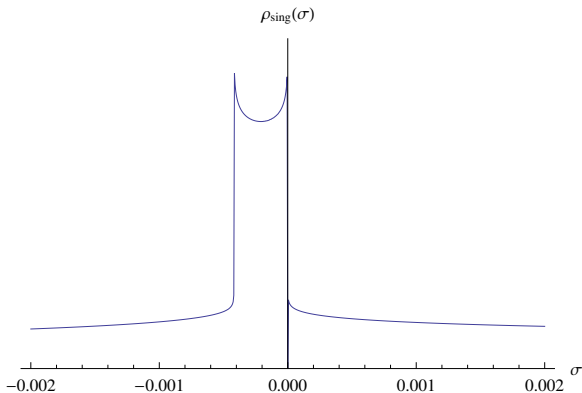
## Les exposants critiques



- $d=4.499$

Position de la singularité  $\rho_{\text{sing}}$  en fonction de la condition initiale  $\sigma$ .

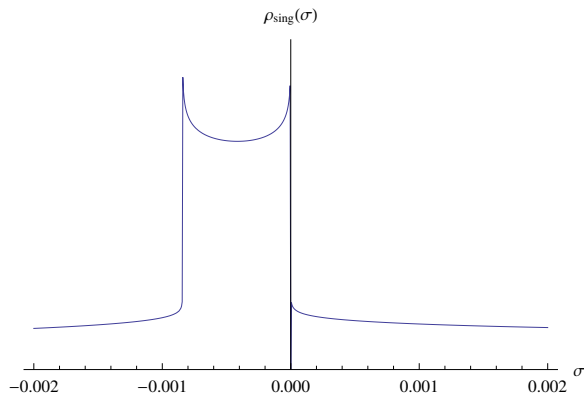
## Les exposants critiques



- $d=4.495$

Position de la singularité  $\rho_{\text{sing}}$  en fonction de la condition initiale  $\sigma$ .

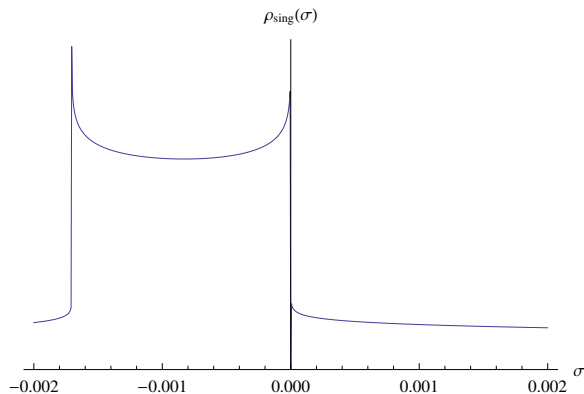
## Les exposants critiques



- $d=4.490$

Position de la singularité  $\rho_{\text{sing}}$  en fonction de la condition initiale  $\sigma$ .

## Les exposants critiques

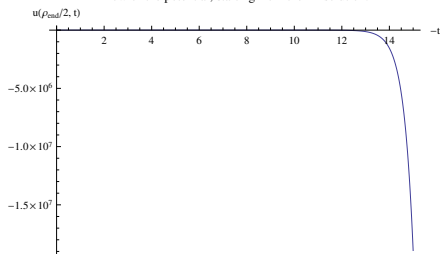


- $d=4.480$

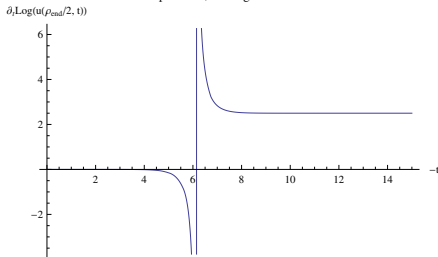
Position de la singularité  $\rho_{\text{sing}}$  en fonction de la condition initiale  $\sigma$ .

## Flot du potentiel

Flow of the potential, starting from the FP solution.



Flow of the potential, starting from the FP solution.



$$u_t(\rho) = u(\rho) + \delta u_{\parallel}(\rho) e^{t/\nu_{\parallel}} + \delta u_{\perp}(\rho) e^{t/\nu_{\perp}}$$

	nos résultats	développement perturbatif	Wilson-Polchinski
$\nu_{\parallel}$	0.399	0.392	0.317
$\nu_{\perp}$	0.799	0.798	0.634

- Calcul des exposants critiques d'un modèle non trivial, par une méthode originale.
- Prise en compte du potentiel complet.
- Pour aller plus loin : test avec d'autres formes de régulateurs, prise en compte des dimensions critiques.